

تحضير خلطات لتفاعلات ميلارد ودراسة العوامل المؤثرة في تكوين

* نواتجها المضادة للأكسدة *

نزار أحمد شكري علي خضرير جابر الركابي

قسم علوم الأغذية والتقانات الاحيائية / كلية الزراعة / جامعة البصرة

الخلاصة

حضرت ست خلطات من الحامضين الأمينيين هستيدين و آرجينين وثلاثة سكريات احادية كلوكوز وفركتوز وزايلوز و درس تأثير نوع الحامض الأميني و السكر، مدة التسخين ، التركيز المولاري ، درجة الحرارة و الأُس الهيدروجيني في احداث وتكوين نواتج تفاعلات ميلارد Maillard Reaction Products (MRPs) المضادة للأكسدة المحضرة بتقدير اللون البني الناتج ، شدة التفلور ، قياس قوة الاختزال ، قياس الفعالية المضادة للأكسدة. اظهرت الخلطات المحتوية على سكر الزايلوز تطوراً "لونيا" وزيادة في شدة التفلور بشكل اكبر مقارنة بالخلطات المحتوية على الكلوكوز والفركتوز ، و اظهر الخليطان آرجينين-زايلوز و آرجينين-فركتوز أقصى قوة اختزال و أعلى فعالية مضادة للأكسدة . ازداد التطور اللوني بشكل اكبر بزيادة التركيز المولاري للسكر . كما اظهر خليط آرجينين-زايلوز زيادة في تطور اللون البني بشكل اكبر مقارنة بخليط آرجينين-فركتوز . بلغت أقصى شدة تفلور عند التركيز المولاري 1: 5 لخليط آرجينين-زايلوز و عند التركيز المولاري 1: 2 لخليط آرجينين-فركتوز . اظهر التركيز 2: 1 أعلى قوة اختزال لكلا الخليطين. بلغت أقصى فعالية مضادة للأكسدة بتركيز 2: 1 بدرجة حرارة 80°C و اس هيدروجيني 9 لخليط آرجينين-زايلوز ، وبتركيز 2: 1 ودرجة حرارة 100°C و عند الأُس الهيدروجيني 7 لخليط آرجينين-فركتوز.

● بحث مستقل من أطروحة دكتوراه للباحث الثاني.

المقدمة

تعرف تفاعلات ميلارد بأنها سلسلة من التفاعلات تشتراك فيها الكربوهيدرات ذات الوزن الجزيئي الواطئ ومشتقاتها مع الأحماض الأمينية الحرة أو المجاميع الأمينية الحرة للبروتينات والببتيدات التي تؤدي تكوين مركبات نتروجينية بنية اللون يطلق عليها بـ"الميلانوبيدينات" [8]. هناك الكثير من الجوانب الإيجابية لتفاعلات ميلارد خلال عمليات تصنيع وخزن الأغذية، إذ يرافق تكوين اللون البني تغيرات مرغوبة في النكهة ، فضلاً عن ذلك فان بعض MRPs بامكانها أن تعمل مواداً مضادة للأكسدة ، إذ أثبتت العديد من الدراسات قدرة العديد من هذه النواتج على إعاقة الأكسدة الذاتية للدهون ، إذ تعمل هذه النواتج مواداً مثبطة تتحدد مع الجذور الحرة الضرورية لاستمرار تفاعلات الأكسدة الذاتية للدهون، ومن ثم إيقاف هذه التفاعلات بعدم تحول جزيئات الدهن إلى النواوج الأولية للأكسدة التي تعرف بالهيدروبيروكسيدات [2]. كما أن لـ MRPs المضادة للأكسدة أهمية من الناحية الطبية والبيولوجية، إذ وجد أن العديد من المركبات الحلقة غير المتجانسة المعزولة من MRPs لها القراءة على منع الإصابة بالعديد من الأمراض مما يدل على أهمية هذه المركبات في العلوم الطبية [3] ، أما من الناحية البيولوجية ، فان MRPs تساعد على حماية جسم الإنسان من التأثير الفعال لأنواع الأوكسجين الفعالة التي تسبب أضراراً للحامض النووي منقوص الأوكسجين وانقسام البروتين [4]. نظراً للجوانب الإيجابية أعلاه فقد استهدفت هذه الدراسة تحضير خلطات تفاعلات ميلارد باستعمال الكلوكوز، الفركتوز، الزايلوز والحامضين الأمينيين الأرجينين والهستدين ودراسة العوامل المؤثرة على هذه التفاعلات وعلى تكوين MRPs المضادة للأكسدة.

المواد وطرق العمل

١ - **المواد المستخدمة :** استخدمت ثلاثة أنواع من السكريات الأحادية ، كلوكوز اللامائي و زايلوز و فركتوز المجهزة من شركة BDH الإنكليزية و استخدم الحامضين الأمينيان آرجينين و L- هستدين المجهزان من شركة Fluka الألمانية، كما استخدم حامض اللينوليك (نقاوته لا تقل عن ٩٨٪) لدراسة الفعالية المضادة للأكسدة والمجهز من شركة Fluka الألمانية.

٢ - طرائق العمل

١-٢ : تحضير خلطات تفاعلات ميلارد : أتبعت الطريقة التي ذكرها [4] لتحضير ست خلطات من السكريات زايلوز، كلوكوز و فركتوز مع الحامضين الأمينيين آرجينين و هستدين بتركيز مولاري ١:١ ، ضبط الأس الهيدروجيني للخلطات على ٧ و سخنت على درجة حرارة ٤٠° م.

والمدد الزمنية ١، ٢، ٥، ١٠ و ٢٠ ساعة. تم متابعة حدوث تفاعلات ميلارد وفقاً للاختبارات المذكورة في الفقرة ٢-٢ لتحديد أفضل خليطين لإنتاج الفعالية المضادة للأكسدة، وحضرت خمسة تراكيز مولارية من الخليطين آرجينين- زايلوز وآرجينين- فركتوز.

درست قابلية الخليطين المحضررين بالتراكيز أعلى على تكوين نواتج تفاعلات ميلارد (Maillard Reaction Products (MRPs)) المضادة للأكسدة على وفق الاختبارات في الفقرة ٢-٣ لتحديد أفضل التراكيز لإنتاج الفعالية المضادة للأكسدة. كما درس تأثير درجة الحرارة والأس الهيدروجيني بتسخين الخليطين المحضررين على درجات الحرارة ٦٠، ٨٠ و ١٠٠ ° واس هيدروجيني ٥، ٧، ٩ و ١١ لتحديد الظروف المثلى للحصول على أقصى إنتاجية للفعالية المضادة للأكسدة على وفق الاختبارات المذكورة في الفقرة ٢-٢.

٢-٢: تفاعلات ميلارد وتكوين النواتج المضادة للأكسدة : تم متابعة حدوث تفاعلات ميلارد للخليطين المحضررين عند قيم مختلفة من الأس الهيدروجيني ودرجات الحرارة والمدد الزمنية للتفاعل والتراكيز المولارية للأحماض الأمينية والسكريات وفقاً للاختبارات الآتية:

٢-٢-١: تكوين اللون البني : اتبعت الطريقة التي أوردها [4] لمتابعة تطور اللون البني أثناء تفاعلات ميلارد على طول موجي مقداره ٤٢٠ نانوميتر باستخدام جهاز المطياف الضوئي .

٢-٢-٢: تطور شدة التفلور : اتبعت الطريقة التي أوردها [4] لمتابعة تطور شدة التفلور أثناء حدوث تفاعلات ميلارد وقياس التفلور بتقدير الانبعاث على طول موجي ٥٣٠ نانوميتر وعند تهيج مقداره ٤٥٢ نانوميتر باستخدام جهاز مطياف التفلور.

٢-٢-٣: قياس قوة الاختزال : قيست قوة الاختزال لنواتج تفاعلات ميلارد وفق الطريقة التي ذكرها [4] وقيست قوة الاختزال على طول موجي مقداره ٧٠٠ نانوميتر.

٢-٢-٤: قياس الفعالية المضادة للأكسدة : اتبعت طريقة ثايوسيانات الحديديك التي ذكرها [3] لقياس الفعالية المضادة للأكسدة حامض اللينوليك بفعل نواتج تفاعلات ميلارد المحضررة في الفقرة ٢-٢ ، وقيست الامتصاصية للنماذج ونموذج المعاملة الضابطة على طول موجي مقداره ٥٠٠ نانوميتر وحسبت الفعالية المضادة للأكسدة حامض اللينوليك وفقاً للمعادلة التالية:

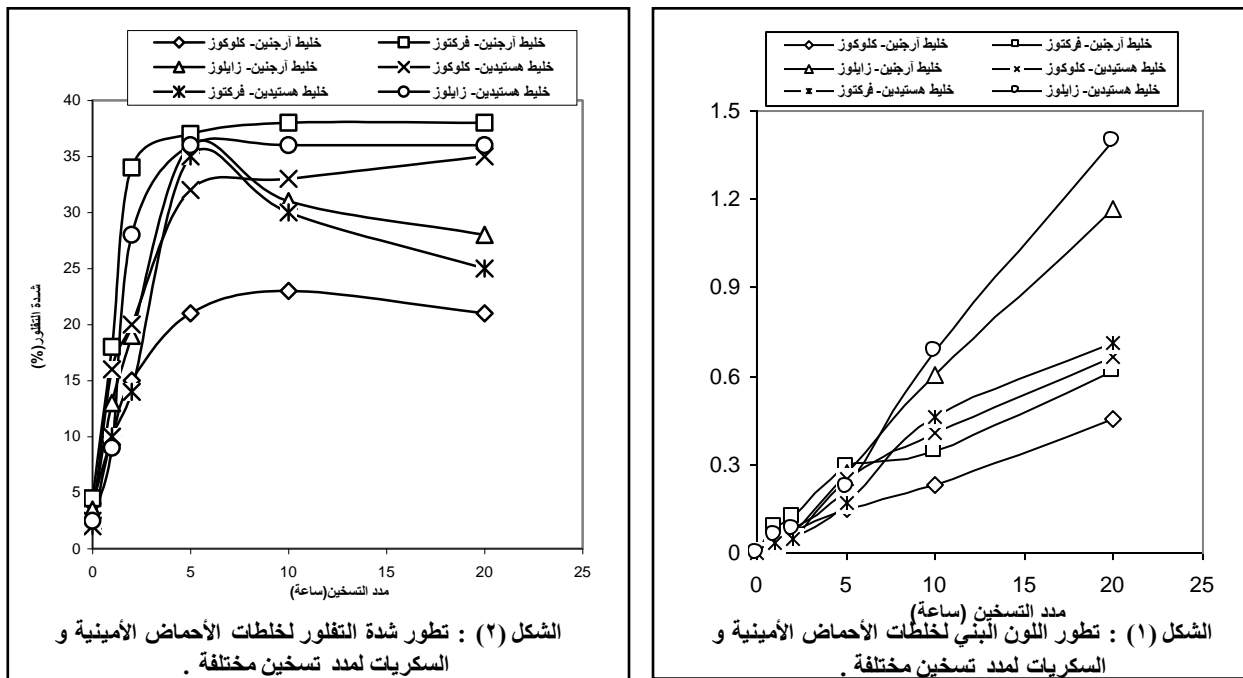
$$\left[\frac{\text{قراءة الامتصاصية لنواتج تفاعلات ميلارد}}{100 \times \text{قراءة الامتصاصية للعينة الضابطة}} \right] \times 100 = \text{الفعالية المضادة للأكسدة} (\%)$$

١: تأثير نوعية الأحماض الأمينية والسكريات ومدد التسخين:

١-١: تطور اللون البني : يوضح الشكل (1) تطور اللون البني لست خلطات من الأحماض الأمينية والسكريات المحضرة بتركيز مولاري 1:1 وبدرجة حرارة 80م واس هيدروجيني 7 ولمدد التسخين 0، 1، 2، 5 ، 10 و 20 ساعة. يلاحظ أن هناك زيادة خطية في تطور اللون البني لجميع الخلطات بتقدم مدد التسخين ، إلا أن مقدار الزيادة للخلطات المحتوية على سكر الزايلوز أكبر مقارنة بالخلطات المحتوية على الكلوکوز والفركتوز ، وهذا يتفق مع [2] عند دراستهما لتكوين الصبغة البنية بمقارنة سكر الرايبوز مع الكلوکوز والفركتوز . كما يلاحظ أن طبيعة سكر الفركتوز أكثر تفاعلاً من سكر الكلوکوز اي أكثر قابلية لتكوين الصبغة البنية في تفاعلات ميلارد وهذا يتفق مع [7] الذين وجداً أن السكر الكيتوزي أكثر تفاعلاً من السكر الألدوسي. في حين وجد [13] أن الألدوزات أكثر تفاعلاً من الكيتوزات. كما يلاحظ من الشكل (1) أن تطور اللون البني خلال مدة التسخين الأولى بطريقاً وهذا قد يرجع إلى وجود مدد حث أو تحفيز لتكوين الصبغات البنية ، إذ افترض [9] أن المركبات الوسطية المسئولة عن تكوين الصبغات البنية تكون غير ملونة وتنتج أثناء مدد التحفيز الابتدائية.

٢-٢: تطور شدة التفلور: يوضح الشكل (2) تطور الشدة النسبية للتفلور للخلطات الست، اتبعت شدة التفلور للخلطات أسلوباً مختلفاً عن تطور اللون البني، إذ يلاحظ زيادة سريعة في مدد التسخين الأولى ، تبعها حالة استقرار في شدة التفلور لبعض الخلطات وانخفاضها لخلطات أخرى . يعزى تطور الشدة النسبية للتفلور في مدد التسخين المبكرة إلى تكوين العديد من المركبات الحلقة التي تحتوي على العديد من الأوصار المزدوجة وعلى مجاميع واهبة للاكترونات مثل مجموعة الأمين والهيدروكسيل التي لها القدرة على ابعاث الضوء ومن ثم اعطاء تفلوراً معيناً" يقيم مختلفة من الشدة اعتماداً على نوع تلك النواتج وتركيبها الكيميائي والأطوال الموجية المستخدمة ، إذ من الشروط المطلوبة لعملية التفلور وجود تركيب جزيئي له القدرة على امتصاص الضوء، وكلما زاد امتصاص الجزيئة للضوء زادت شدة تفلورها، لذا يصاحب تطور تفاعلات ميلارد زيادة في تكوين المركبات الحلقة الممتصة للضوء ومن ثم تكون هناك زيادة في شدة التفلور [6]. أما الانخفاض الحاصل في الشدة النسبية للتفلور في مدد التسخين اللاحقة فيعزى إلى تكوين مركبات متألقة جديدة ذات تركيب جزيئية مختلفة عن تلك المركبات المكونة خلال مدد التسخين الأولى وهذه المركبات الجديدة تحتوي على تركيب حلقة غير مشبعة تعطي ابعاث ضوئي يمكن قياسه على أطوال موجة أخرى غير الطول الموجي المستخدم ومن ثم يقل انبعاثها

ويصاحب ذلك انخفاضاً في الشدة النسبية للتفلور لهذه المركبات[9] . يلاحظ أن تطور الشدة النسبية للتفلور لنواتج تفاعلات ميلارد يسبق تطور اللون البني لتلك النواتج (الشكل 1) وهذا يدل على أن مركبات الفلورة من المحتمل أن تكون بادئات لتكوين الصبغات البنية التي قد تمتلك الفعالية المضادة للأكسدة [12]. تتفق النتائج أعلاه مع [7] عند متابعتهما للتغير الحاصل في شدة التفلور لخلطات بروتين الكازين مع الكلوكوز والفركتوز والرايبوز، إذ حصلت زيادة سريعة في شدة التفلور في مدد الخزن الأولى، تبعها زيادة تدريجية ثم انخفاض في شدة التفلور.



الشكل (٢) : تطور شدة التفلور لخلطات الأحماض الأمينية و السكريات لمدد تسخين مختلفة .

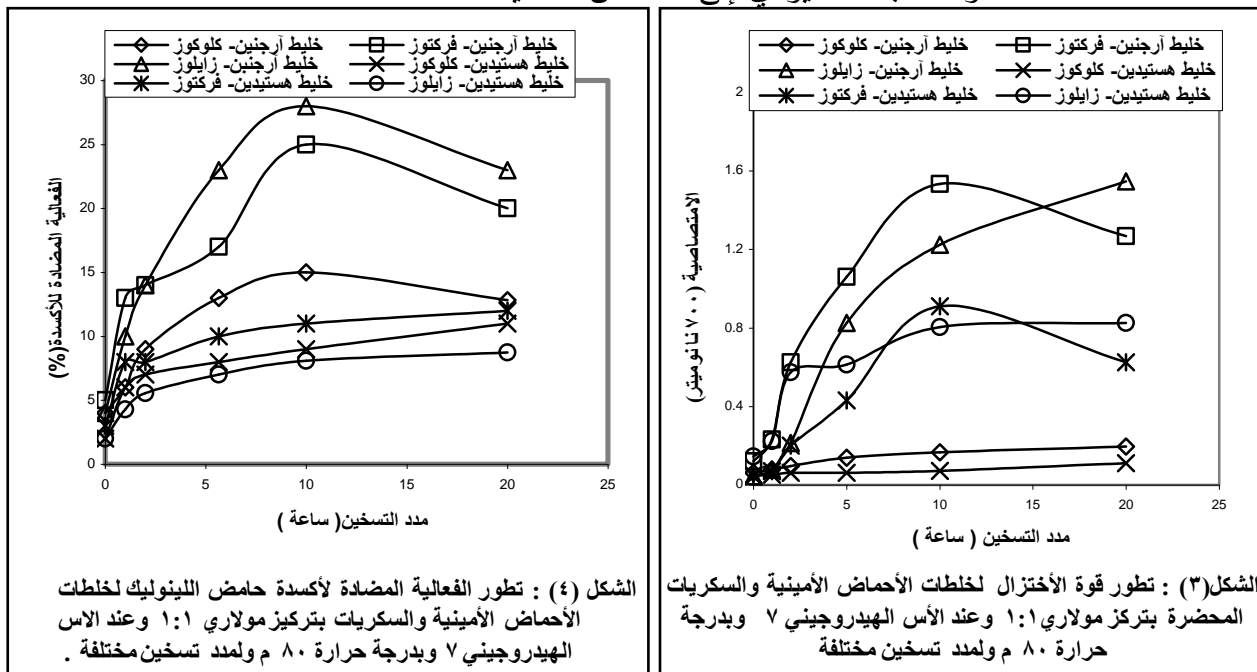
الشكل (١) : تطور اللون البني لخلطات الأحماض الأمينية و السكريات لمدد تسخين مختلفة .

3-3: تطور قوة الاختزال

يوضح الشكل (3) تطور قوة الاختزال لخلطات الستة ، إذ دلت الزيادة في الامتصاصية على زيادة قوة الاختزال للخلطات، يلاحظ أن قوة الاختزال قد ازدادت بسرعة لجميع الخلطات في مدد التسخين الأولى عدا الخليطين آرجنين- كلوكوز و هستيدين- كلوكوز التي لم يحصل فيها أي زيادة في قوة الاختزال خلال مدد التسخين الأولى ثم أصبحت الزيادة تدريجية في المدد اللاحقة ، واستمرت هذه الزيادة للخليطين آرجنين- زايلوز و هستيدين- زايلوز، في حين حصل انخفاض في قوة الاختزال للخليطين آرجنين- فركتوز و هستيدين- فركتوز في مدد التسخين النهائية. اظهر الخليطان آرجنين- زايلوز و آرجنين- فركتوز أقصى قوة اختزال خلال مدد التسخين مقارنة ببقية الخلطات.

٤- الفعالية المضادة للأكسدة

يوضح الشكل (٤) تطور الفعالية المضادة للأكسدة حامض اللينوليك بفعل نواتج تفاعلات ميلارد لخلطات الأحماض الأمينية والسكريات المحضرة بتراكيز مولاري ١:١ وعند الأس الهيدروجيني ٧ وعلى درجة حرارة ٨٠ م ولمدت التسخين ٠، ١، ٢، ٥، ١٠ و ٢٠ ساعة. حصلت زيادة سريعة في الفعالية المضادة للأكسدة في مدد التسخين الأولى ، إلا أن الخليطين آرجنин- زابلوز و آرجنين- فركتوز اظهرا أعلى فعالية مقارنة ببقية الخلطات في مدة التسخين اللاحقة. أصبحت بعدها الزيادة تدريجية واستمر تفوق هذين الخليطين على بقية الخلطات وبلغت أقصى فعالية بعد مرور ١٠ ساعات من التسخين ، اظهر الخليطان انخفاضاً في فعاليتهما المضادة للأكسدة، إلا أن تفوق هذين الخليطين استمر على بقية الخلطات التي أظهرت حالة استقرار ولم تلاحظ أية زيادة في فعاليتها في مدة التسخين النهائية. تتفق النتائج أعلاه مع [٣] عند متابعتهم لتطور الفعالية المضادة للأكسدة لخلط تفاعل ميلارد تربوفان - كلوكوز والذين ارجعوا امتلاك خليط التفاعل في الوقت صفر إلى وجود الحامض الأميني الذي يمتلك أساساً تأثيراً مضاداً للأكسدة حامض اللينوليك ، أما الزيادة الحاصلة في الفعالية المضادة للأكسدة عند حدوث تفاعلات ميلارد ربما تعزى إلى تكون المركبات المضادة للأكسدة وهذه المركبات قد تكون ملونة وأهمها الميلانوبيدنات وهي النواتج النهائية لتفاعلاتها أو تكون مركبات غير ملونة والتي تسبق تكوين المركبات الملونة [٣]. أما الانخفاض الحاصل في الفعالية المضادة للأكسدة عند إطالة مدة التسخين فتعزى لسبعين هما تكسر المركبات ذات التأثير المضاد للأكسدة المكونة في مدد التسخين الأولى أو تكوين مواد مشجعة لحدوث الأكسدة عند إطالة مدة التسخين بجانب المركبات المضادة للأكسدة المكونة سابقاً مما يؤدي إلى انخفاض الفعالية المضادة للأكسدة .



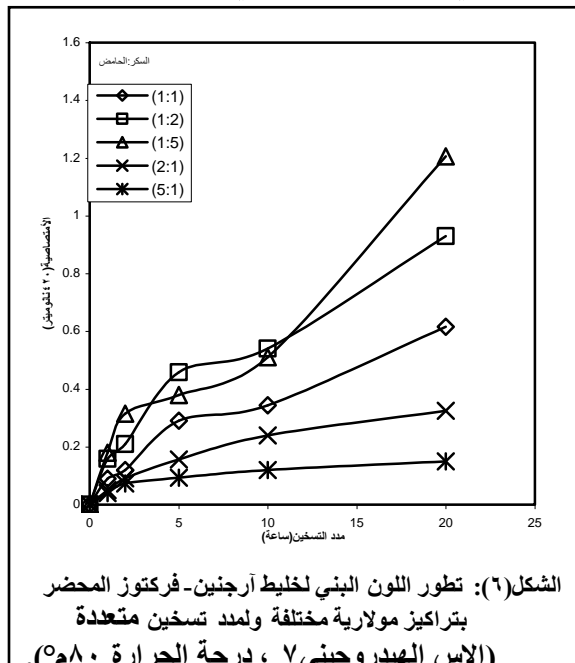
الشكل (٤) : تطور الفعالية المضادة للأكسدة حامض اللينوليك لخلطات الأحماض الأمينية والسكريات المحضرة بتراكيز مولاري ١:١ وعند الأس الهيدروجيني ٧ وبدرجة حرارة ٨٠ م ولمدد تسخين مختلفة .

الشكل(٣) : تطور قوة الأختزال لخلطات الأحماض الأمينية والسكريات المحضرة بتراكيز مولاري ١:١ وعند الأس الهيدروجيني ٧ وبدرجة حرارة ٨٠ م ولمدد تسخين مختلف .

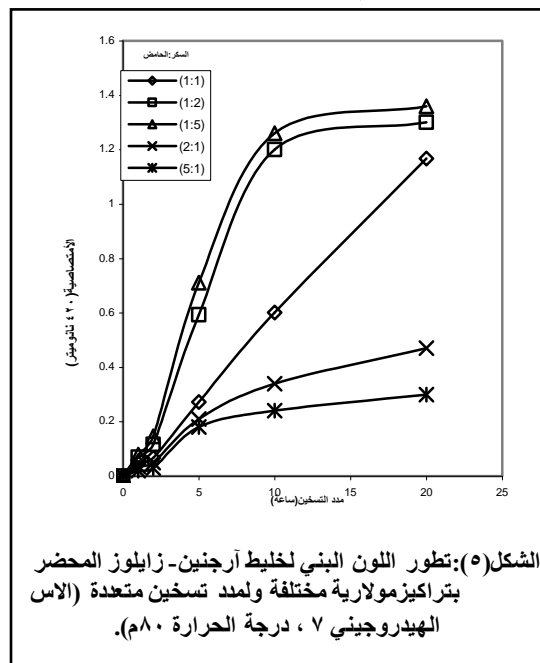
2: تأثير التركيز المولاري

1-2: تطور اللون البني

يوضح الشكلان (5 و6) تطور اللون البني معبراً عنه بالامتصاصية عند الطول الموجي 420 نانوميتر للخليطين آرجنين- زايلوز و آرجينين- فركتوز المحضررين بتركيزات مولارية مختلفة ولمدد تسخين متعددة و عند الأس الهيدروجيني 7 وعلى درجة حرارة 80م . اظهر التطور اللوني زيادة بطيئة في مدد التسخين الأولى ، بعدها أصبحت الزيادة سريعة في المدة اللاحقة واستمرت هذه الزيادة للتركيز المولاري 1:1 لخليط آرجنين- زايلوز والتركيز 5 : 1 لخليط آرجنين- فركتوز ، في حين أصبحت الزيادة تدريجية لبقية التركيزات . عموماً فقد ازداد التطور اللوني بشكل اكبر بزيادة التركيز المولاري للسكر و اظهر التركيز 1 : 5 اقصى تطوراً لونياً خلال مدد التسخين المتعددة . كما اظهر خليط آرجنين- زايلوز زيادة في تطور اللون البني بشكل اكبر مقارنة بخليط آرجنين- فركتوز و عند جميع التركيزات المولارية المحضرة . تتفق النتائج أعلاه مع [3] عند متابعتهم لتطور اللون البني لخليط تربوفان- فركتوز بتركيزات مولارية متعددة ولمدد تسخين 0-60 ساعة و عند الأس الهيدروجيني 7 وعلى درجة حرارة 65م ، اظهرت نتائج التحليل الإحصائي تفوق التركيزين 1 : 2 و 1 : 5 معنوياً في تطور اللون البني لكلا الخليطين .



الشكل(6): تطور اللون البني لخليط آرجنين- زايلوز المحضر بتركيزات مولارية مختلفة ولمدد تسخين متعددة (الأس الهيدروجيني 7 ، درجة الحرارة 80م).)



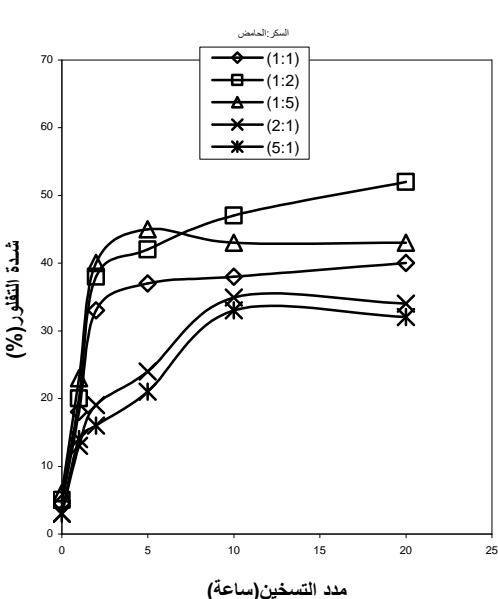
الشكل(5): تطور اللون البني لخليط آرجنين- زايلوز المحضر بتركيزات مولارية مختلفة ولمدد تسخين متعددة (الأس الهيدروجيني 7 ، درجة الحرارة 80م).

2-2: تطور شدة التفلور

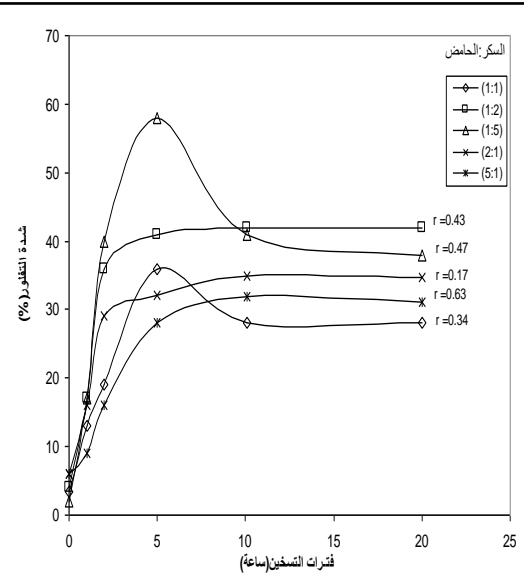
يوضح الشكلان (7 و8) تطور شدة التفلور للخليطين (آرجنين- زايلوز) و (آرجنين- فركتوز) المحضررين بتركيزات مولارية مختلفة و مدد تسخين متعددة و عند الأس

الهيروجيني 7 وعلى درجة حرارة تسخين 80°C . في المدد الأولى للتسخين ازدادت شدة التفلور بسرعة لكلا الخليطين وعند جميع التركيزات المولارية المحضرة. وفي المدة اللاحقة للتسخين ، حصلت حالة استقرار في شدة التفلور ولم تلاحظ زيادة واضحة في شدة التفلور لخليل (أرجينين- زايلوز) وحصول زيادة طفيفة لخليل (أرجينين- فركتوز)، وبلغت أقصى شدة تفلور عند التركيز المولاري 1: 5 لخليل أرجينين- زايلوز بعد 5 ساعات تسخين وعند التركيز المولاري 1: 2 لخليل أرجينين- فركتوز بعد 20 ساعة تسخين. أظهرت نتائج التحليل الإحصائي فروقات معنوية في تطور شدة التفلور بتقدم مدد التسخين ولجميع التركيزات المولارية لكلا الخليطين.

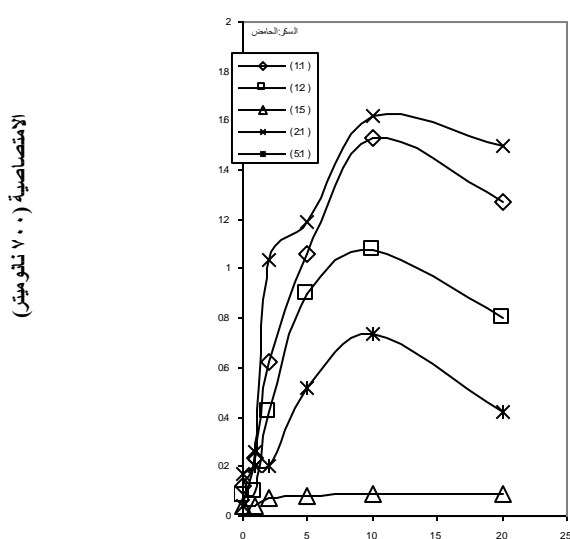
3-2: تطور قوة الاختزال : يبين الشكلان (9 و10) تطور قوة الاختزال لخليلين أرجينين- زايلوز و أرجينين- فركتوز المحضرتين بتركيزات مولارية مختلفة ولمدد تسخين متعددة وعند الأس الهيدروجيني 7 وعلى درجة حرارة 80°C . يلاحظ أن قوة الاختزال قد تزايدت بشكل سريع لكلا الخليطين ، واستمرت هذه الزيادة لخليل أرجينين- زايلوز خلال مدة التسخين اللاحقة ، في حين انخفضت قوة الاختزال بشكل واضح لخليل أرجينين- فركتوز ولجميع التركيزات المولارية عدا التركيز 1: 5 . عموماً فقد اظهر التركيز 2: 1 أعلى قوة اختزال لكلا الخليطين.



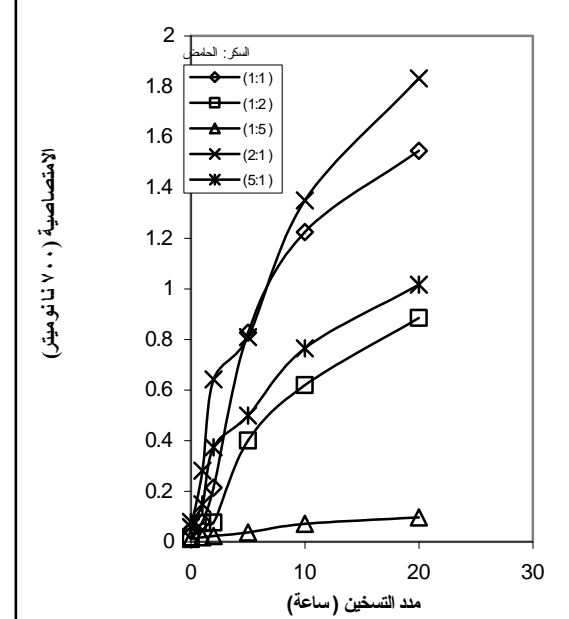
الشكل(٨) : تطور شدة التفلور لخليل أرجينين- فركتوز المحضر بتركيزات مولارية مختلفة ولمدد تسخين متعددة (الأس الهيدروجيني 7 ، درجة الحرارة ٨٠ °م).



الشكل (٧) : تطور شدة التفلور لخليل أرجينين- زايلوز المحضر بتركيزات مولارية مختلفة ولمدد تسخين متعددة (الأس الهيدروجيني 7 ، درجة الحرارة ٨٠ °م).



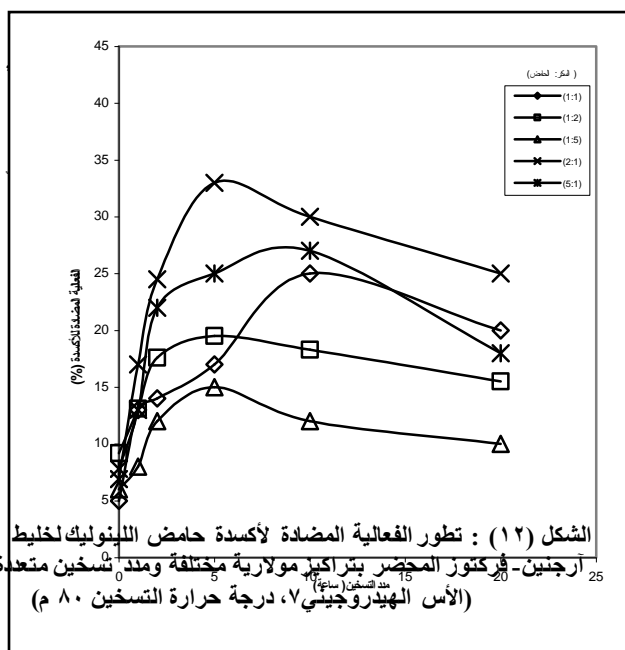
الشكل (١٠) : تطور قوة الأختزال لخلط آرجينين-فركتوز المحضر بتراكيز مولارية مختلفة ولمدد تسخين متعددة



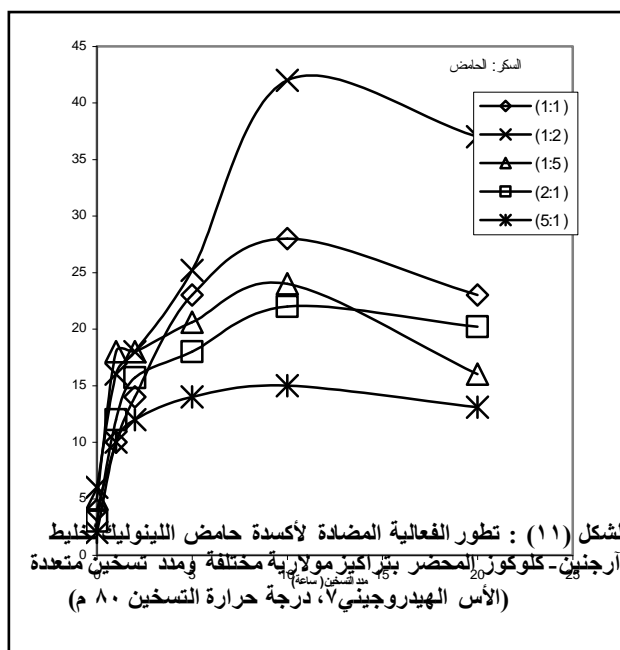
الشكل (٩) : تطور قوة الأختزال لخلط آرجينين- زايلوز المحضر بتراكيز مولارية مختلفة ولمدد تسخين متعددة (الاس الهيدروجيني ٧ ، درجة الحرارة ٨٠ م).

٤-٢: تطور الفعالية المضادة للأكسدة

يوضح الشكلين (١١و١٢) تطور الفعالية المضادة لأكسدة حامض اللينولييك للخلطين آرجينين- زايلوز و آرجينين- فركتوز المحضرين بتراكيز مولارية مختلفة ولمدد تسخين متعددة وعند الأس الهيدروجيني ٧ وعلى درجة حرارة ٨٠م . يلاحظ أن الفعالية ازدادت بشكل سريع خلال مدد التسخين الأولى ٠، ١ و ٢ ساعة، بعدها أصبحت الزيادة تدريجية لمدتي ٥ و ١٠ ساعة ولجميع التراكيز المولارية المحضرة ، إذ بلغت أقصى فعالية لها عند الترکیز المولاري ٢: ١ للخلط الأول عند مدة التسخين ١٠ ساعة و للخلط الثاني



الشكل (١٢) : تطور الفعالية المضادة لأكسدة حامض اللينولييك لخلط آرجينين- فركتوز المحضر بتراكيز مولارية مختلفة ولمدد تسخين متعددة (الأس الهيدروجيني ٧ ، درجة حرارة التسخين ٨٠ م)



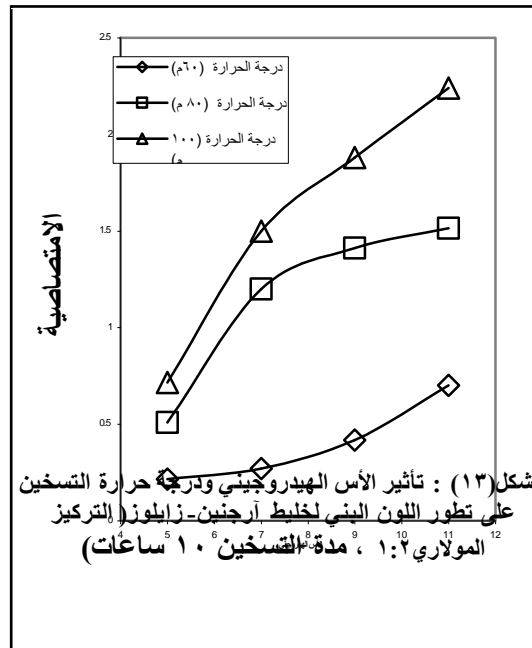
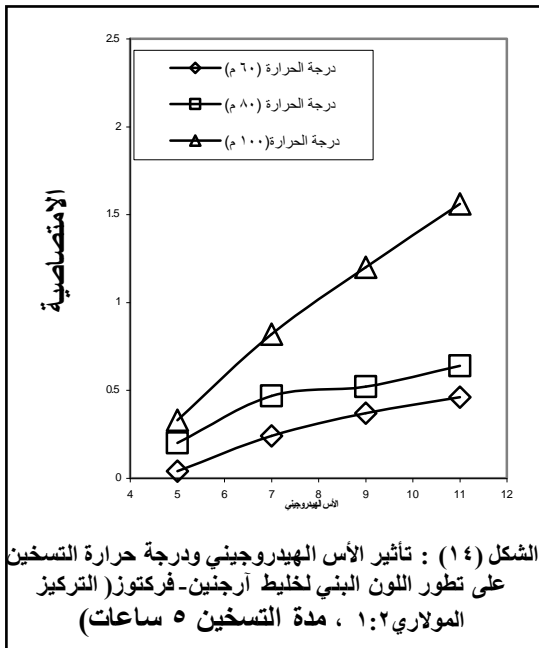
الشكل (١١) : تطور الفعالية المضادة لأكسدة حامض اللينولييك لخلط آرجينين- كلوكروز المحضر بتراكيز مولارية مختلفة ولمدد تسخين متعددة (الأس الهيدروجيني ٧ ، درجة حرارة التسخين ٨٠ م)

عند مدة التسخين 5 ساعة اشاره على أن تكوين الصبغات إثناء التطور اللوني في تفاعلات ميلارد قد لا يرافق تكوين المركبات المضادة للأكسدة ، وهذا يعني أن المركبات المضادة للأكسدة عبارة عن مركبات غير ملونة تسبق تكوين المركبات المسؤولة عن اللون البني. أما تطور شدة التقلور فقد ترافقت مع تطور الفعالية المضادة للأكسدة وهذا قد يدل على أن مركبات الفلوره هي المسؤولة عن تطور التأثير المضاد للأكسدة لـ MRPs وهذا يتفق مع [5] عند متابعتهم لتطور شدة التقلور لخلط تربوفان - فركتوز المحضر بتراكيز مولاريه مختلفة، إذ ازدادت شدة التقلور لهذا الخليط بزيادة التأثير المضاد للأكسدة. كما أن تطور قوة الاختزال ترافق مع تطور الفعالية المضادة للأكسدة دلالة على أن تراكم مركبات الاختزال ضروريًا لتطور التأثير المضاد للأكسدة لمركبات (MRPs) ومن ثم فإن هذه المركبات قد تكون هي المسؤولة عن تطور التأثير المضاد للأكسدة لتلك النواتج.

3: تأثير الأُس الهيدروجيني ودرجة الحرارة

3-1: تطور اللون البني

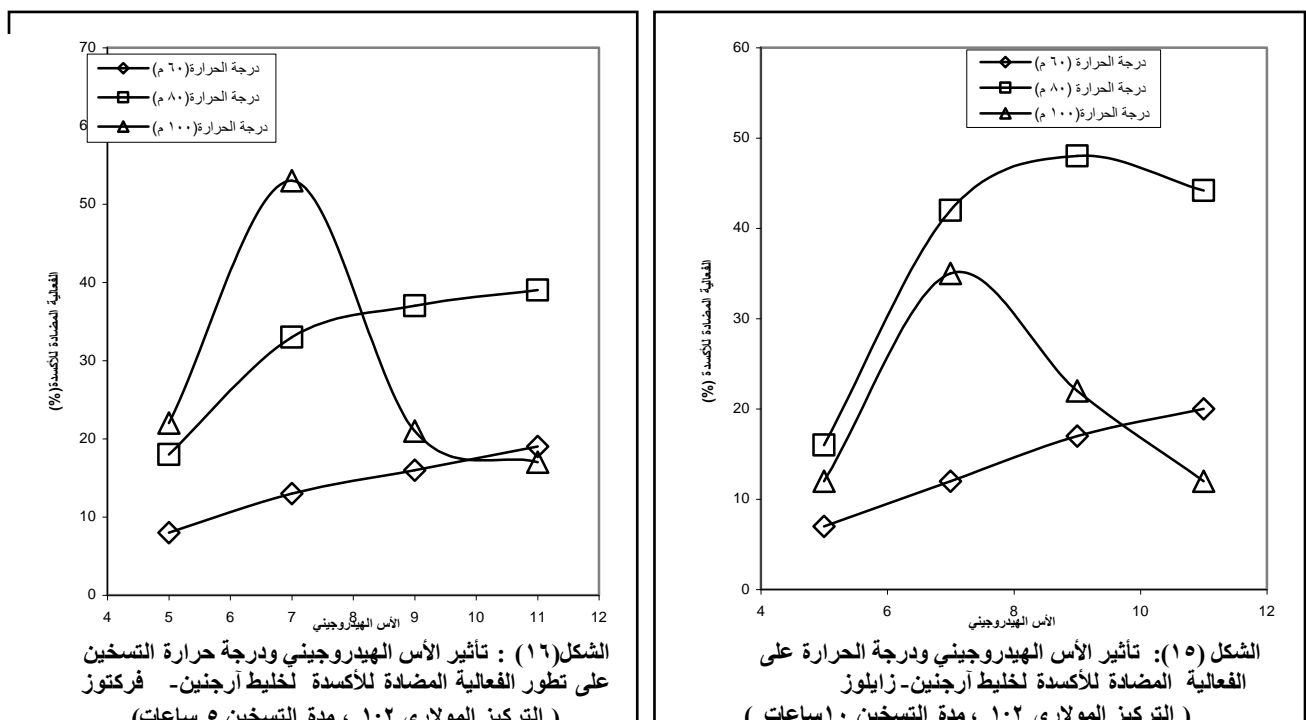
يوضح الشكلان (13و14) تأثير الأُس الهيدروجيني ودرجة الحرارة على تطور اللون البني للخليطين آرجينين- زابيلوز و آرجينين- فركتوز المحضرin بالتركيز المولاري 2: 1 ولمدة تسخين 10 و 5 ساعة على التوالي. يلاحظ أن مقدار اللون البني ازداد خطياً بزيادة الأُس الهيدروجيني ودرجة الحرارة لكلا الخليطين. تتفق النتائج أعلاه مع [14] عند متابعة التطور اللوني بارتفاع الأُس الهيدروجيني ومدد التسخين لخلط هستدين- كلوكوز المحضر بتركيز مولاري 1: 3 . أن زيادة اللون البني ترجع إلى زيادة درجة التفاعل بين السكر ومجموعة الأمين ، إذ إن ارتفاع درجة الحرارة يؤدي إلى زيادة سرعة الجزيئات وزيادة العدد الكلي للأصطدامات ، وهذا بدوره يؤدي إلى زيادة تردد هذه الأصطدامات وزيادة سرعة التفاعل الكيميائي [1]. أما زيادة اللون البني فإنه يرجع إلى تكوين العديد من المركبات الوسطية عند الأُس الهيدروجيني القاعدي التي تكون بادئات لتكوين الصبغات البنية إضافة لذلك فإن الهيئة غير البروتونية لمجموعة الأمين وهيئه السلسلة المفتوحة تعد الأشكال الفعالة عند الأُس الهيدروجيني الأعلى ، أما عند pH الاوتوأ فان مجموعة الأمين تمتلك بروتوناً لذلك فأنها أقل تفاعلاً مع السكر [16].



3-2: تطور الفعالية المضادة للأكسدة

يوضح الشكلان (١٥ و ١٦) تأثير الأُس الهيدروجيني ودرجة الحرارة على تطور الفعالية المضادة للأكسدة حامض اللينوليك للخلطين آرجنين- زايلوز و آرجنين- فركتوز المحضرتين بتركيز ٢:١ ولمدة تسخين ١٠ و ٥ ساعة على التوالي. يلاحظ من الشكل (١٥) أن الفعالية المضادة للأكسدة لخلط آرجنين- زايلوز على درجة حرارة ٦٠° ازدادت تدريجياً بتقدم الأُس الهيدروجيني. أما عند درجة الحرارة ٨٠° ازدادت الفعالية بشكل سريع بزيادة الأُس الهيدروجيني، بعدها أصبحت الزيادة تدريجية أما عند درجة الحرارة ١٠٠° كانت الزيادة سريعة بين قيم الأُس الهيدروجيني ٥ - ٧ بعدها حصل انخفاض تدريجي بزيادة قيمة الأُس الهيدروجيني ، وقد يرجع هذا الانخفاض إلى تفكك المركبات المضادة للأكسدة المتكونة في الخليط عند الـ pH القاعدي أو بسبب تكوين بيروكسيدات حامض اللينوليك بشكل سريع عند الـ pH الأعلى [٣]. يلاحظ من الشكل (١٦) أن الفعالية المضادة للأكسدة لخلط آرجنين- فركتوز عند درجتي الحرارة ٦٠ و ٨٠° قد ازدادت تدريجياً بتقدم الأُس الهيدروجيني ، إلا إن مقدار الزيادة عند درجة

حرارة 80م اكبر مقارنة بتلك على درجة 60م . أما عند درجة الحرارة 100م ازدادت الفعالية سريعاً بعدها حصل انخفاض سريع واحد عند الأُس الهيدروجيني ٩ ثم أصبح الانخفاض تدريجياً وصولاً للأُس الهيدروجيني 11.



المصادر

- 1-الزكوم، مهدي ناجي . (١٩٧٧). مقدمة في الكيمياء التحليلية والفيزيائية. وزارة التعليم العالي والبحث العلمي، جامعة البصرة، مطبعة جامعة البصرة.
- 2- Ashoor, S. H. & Zent, J. B. (1984). Maillard browning of common amino acids & sugars. *J. Food Sci.*, 49: 1206-1207.
- 3- Azuma, K.; Ippoushi, K.; Ito, H.; Higashio, H. & Terao, J. (1999). Evaluation of antioxidative activity of vegetable extracts in linoleic acid emulsions & phospholipids bilayers. *J. Sci. Food Agric.*, 79: 2010-2016.
- 4- Bersuder, P.; Hole, M. & Smith, G. (1998). Antioxidants from a heated histidine-glucose of the antioxidant role of histidine & isolation of antioxidants by High Performance Liquid Chromatography. *J. Am. Oil. Chem.*, 75: 181-187.
- 5- Chiu, W. K.; Tanaka, M.; Nagashima, Y. & Taguchi , T. (1991).Prevention of sardine oxidation by antioxidative Maillard reaction products prepared from fructose-tryptophan Nippon Suisan Gakkaishi, 57: 1773-1781.
- 6- Forss, D. A. (1979). Review of the progress of dairy science, mechanisms of formation of aroma compounds in milk & milk products. *J. Dairy Res.* 46: 691-706.
- 7-Jing, H. & Kitts, D. D. (2002). Chemical & biochemical properties of casein-sugar Maillard reaction products. *Food & Chemical Toxicology* , 40 (7):1005-10015.
- 8- Hurell, R. F. (1989). Reaction of food proteins during processing, storage & their nutritional con sequence. In: *Developments in food proteins.* B. J. F. Hudson (Editor). Vol.
- 9- Li-Chan, E. & Nagy, S. (1981). Comparison of browning in wheat glutens enriched by covalent attachment & addition of lysine. *J. Agric. Food Chem.*, 29: 1200-1205.
- 10-Martins, S. I. (2003). Unraveling the Maillard reaction network by multiresponse kinetic modeling. Ph. D. Thesis, Wageningen University, The Netherlands, 170pp.. Elsevier Scientific publishing Co., New York, pp: 213-244.
- 11- Morales, F. J. & Perez, S. J. (2001). Free radical scavenging capacity of Maillard reaction products as related to colour & fluorescence. *Food. Chem.*, 72 (1): 119-125.

- 12- Morales, F. J. & Perez, S. J. (2004). Peroxyl radical scavenging activity of melanoidins in aqueous systems. *Europ. Food. Res. Technol.*, 218 (6): 515-520.
- 13- Severini, C., Baiano, A.; Romani, S.; Massini, R. & Lerici, C. R. (2000). Maillard reaction & lipid oxidation interactions as affection by temperature. *Res. Acid. Food. Sci.*, No. (1): 33-
- 14- Spark, A. A. (1969). Role of amino acids in non-enzymatic browning. *J. Sci. food & Agriculture*, 20: 308-316.
- 15- Tanaka, M.; Chiu, W. K.; Nagashima, Y. & Taguchi, T. (1988). Application of antioxidative Maillard reaction products from histidine & glucose to sardine products. *Nippon Suisan Gakkaishi*, 54: 1409-1414. Tanaka, M.; Chiu, W.
- 16- Tanaka, M.; Nagashima, Y. & Taguchi, T. (1986). A kinetic study of the non-enzymatic browning reaction between histamine & glucose. *Bull. Japan. Soc. Sci. Fish.*, 52 (7): 1271-1274s.
- 17- Yanagimoto, K.; Lee, K. G.; Ochi, H. & Shibamoto, T. (2002). Antioxidative potential of heterocyclic compounds formed in Maillard reaction mixture products. *International Congress Series* 1245: 335-340.

Preparation of Maillard Reaction Mixtures and Study of Factors effecting the formation of antioxidative Productions

Nazar A. Shukri Ali K. J. Al-Rikaby

*Department of Food Science and Biotechnology – College of Agriculture –
University of Basrah*

SUMMARY

Six mixtures of amino acids and sugars were prepared . Factors effecting the formation of antioxidative Maillard Reaction Products (MRPs) ; types of amino acids and sugars , heating treatment , molar concentration , temperature and pH were studied by measuring color density , fluorescence , reducing power and antioxidative activity

Mixtures contained xylose showed higher color development and fluorescence density ,in comparison with mixtures contained glucose and fructose . Mixtures of (Arg-Xyl) and (Arg-Fru) showed maximum reduction power and highest antioxidative activity .Color development increased with molar concentration (sugar : amino acid) .Mixture of (Arg-Fru) showed higher increase in brown color development in comparison with that of mixture (Arg-Xyl). Maximum fluorescence density was at molar concentration (5:1) for (Arg-Xyl) and at (2:1) for (Arg-Fru) mixture .